

اندرکنش شبکه‌ی قطری پیرامونی و هسته‌ی داخلی در سیستم سازه‌ی شبکه‌ی قطری

آزاده جلالی سنگانی (دانشجوی کارشناسی ارشد)

علی معصومی* (استاد)

دانشکده‌ی هندسی عمران، دانشگاه خوارزمی

علی خواویدین (استاد)

دانشکده‌ی هندسی عمران، دانشگاه سمنان

مهمنگی عمده شریف، (پاییز ۱۳۹۶) دوری ۲ - ۳، شماره ۱ / ۳، ص. ۱۰۵-۱۱۴، (پادشاهت فقیه)

در میان سیستم‌های مقاوم در برابر بارهای جانبی در ساختمان‌های بلند مرتبه، می‌توان به سیستم سازه‌ی شبکه‌ی قطری اشاره کرد. هدف از پژوهش حاضر، بررسی رفتار ترکیبی سیستم شبکه‌ی قطری پیرامونی همراه با هسته‌ی داخلی تحت نیروهای جانبی لرزه‌ی است. برای این منظور، رفتار اندرکنشی ۱۲ سازه‌ی فولادی طبقه همراه با هسته‌ی داخلی با زاویه‌های مختلف شبکه‌ی قطری ارزیابی شده است. هسته‌ی داخلی به در صورت سیستم قاب‌های مهاربندی و خمشی در نظر گرفته شده است. نتایج تحلیل‌ها نشان می‌دهد که سهم قابل ملاحظه‌ی از بار جانبی در همه‌ی طبقات به جز طبقه‌ی ۳۶، توسط سیستم شبکه‌ی قطری تحمل شده و در طبقه‌ی آخر به دلیل اثر مودهای بالا، هسته‌ی داخلی سهم قابل ملاحظه‌ی از برش را تحمل کرده است. کاهش زاویه‌ی المان‌های شبکه‌ی قطری باعث افزایش صلبیت برشی سیستم شبکه‌ی قطری شده و برای زاویه‌ی ۵۰/۱۹ بیشترین صلبیت برشی به دست آمده است. در انتها، روشی برای جلوگیری از ایجاد برش منفی در طبقه‌ی ۳۶ پیشنهاد شده است.

واژگان کلیدی: سیستم شبکه‌ی قطری همراه با هسته‌ی داخلی، رفتار لرزه‌ی، درصد جذب برش.

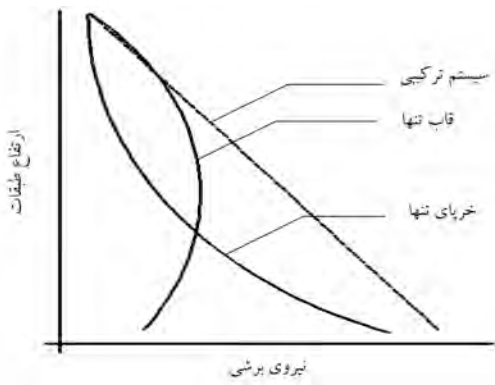
۱. مقدمه

شبکه‌ی قطری این است که در سازه با سیستم شبکه‌ی قطری، همه‌ی ستون‌های عمودی حذف می‌شود و المان‌های قطری بارهای تقلی و جانبی را با عملکرد محوری خود تحمل می‌کنند، در حالی که اعضاء قطری در قاب مهاربندی شده فقط بار جانبی را تحمل می‌کنند.^[۱] از آنجا که تغییر زاویه‌ی اعضاء قطری، نقش مهمی در سازه‌های با سیستم شبکه‌ی قطری ایفا می‌کند، مطالعاتی در زمینه‌ی زاویه‌ی بهینه، که به ازاء آن کمینه‌ی مصالح و کمینه‌ی تغییر مکان جانبی حاصل شود، صورت گرفته است.^[۲-۱] همچنین مطالعات دیگری در زمینه‌ی بررسی تأثیر تغییر زاویه در ارتفاع ساختمان بر وزن مصالح مصرفی انجام شده است.^[۳-۴]

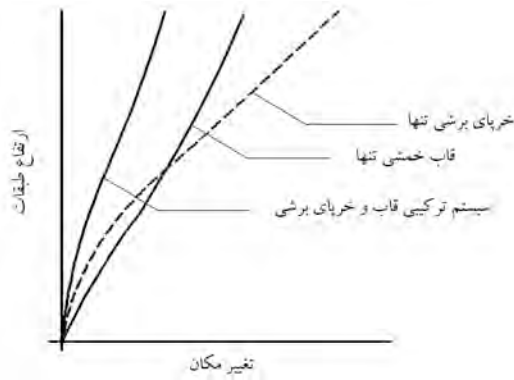
علاوه بر این در سال ۲۰۰۷، به ارائه روشنی مبتنی بر سختی برای طراحی اولیه‌ی المان‌های سیستم سازه‌ی شبکه‌ی قطری پرداخته شده است.^[۵] در مطالعه‌ی دیگری در همان سال،^[۶] نشان داده شده است که با کاهش زاویه، نسبت لنگی برش در سازه با سیستم شبکه‌ی قطری کاهش می‌یابد. در سال ۲۰۰۹،^[۷] نیز در مطالعه‌ی سازه‌های با سیستم شبکه‌ی قطری و سیستم لوله‌ی معادل نشان داده شده است که سیستم شبکه‌ی قطری نسبت به سیستم لوله‌ی، مقاومت بیشتری در برابر پدیده‌ی لنگی برش دارد. همچنین در سال ۲۰۱۰،^[۸] به ارزیابی عملکرد لرزه‌ی سازه‌ها با سیستم شبکه‌ی قطری پرداخته و نشان داده شده است که سازه‌ی

سیستم سازه‌ی شبکه‌ی قطری^[۱]، سختی بالایی نسبت به سایر سیستم‌های سازه‌ی دارد و زمانی که در اتصال با یک هسته‌ی لوله‌ی قرار می‌گیرد، سیستم سازه‌ی لوله در لوله بوجود می‌آید و باعث افزایش سختی جانبی سازه می‌شود. سیستم شبکه‌ی قطری، عملکردی شیوه به یک خربای فضایی دارد. در سازه‌ی سیستم شبکه‌ی قطری، صلبیت برشی و خمشی از طریق عملکرد محوری المان‌های مورب تأمین می‌شود. لذا، این قابلیت سازه‌ی بالا، باعث کاهش تعداد ستون‌های داخلی می‌شود. بنابراین، سیستم سازه‌ی مذکور در بیشتر موارد مورد علاقه‌ی معماران قرار می‌گیرد. استفاده از هسته‌ی داخلی در سازه‌ها با سیستم شبکه‌ی قطری، در تغییر مکان جانبی و رفتار لرزه‌ی سازه اثر می‌گذارد. هسته‌ی داخلی که معمولاً در سیستم‌های سازه‌ی استفاده می‌شود، علاوه بر افزایش سختی سازه، محلی برای عبور آسانسورها و تأسیسات داخلی است.^[۹] سیستم سازه‌ی شبکه‌ی قطری تکامل یافته‌ی سیستم لوله‌ی مهاربندی شده است که اعضاء قطری پیرامونی به صورت شبکه‌های مثنی دارد. تفاوت بین سازه‌های با قاب مهاربندی خارجی متدال و سازه‌های با سیستم

* نویسنده مسئول
تاریخ: دریافت ۱۱/۳/۱۳۹۴، اصلاحیه ۹/۲۲، پذیرش ۲۰/۱۰/۱۳۹۴.



شکل ۱. توزیع نیروی برشی در سیستم ترکیبی قاب-خرپای برشی.^[۱۰]



شکل ۲. تغییر مکان قاب و خرپای برشی تحت بار جانبی.^[۱۰]

به ترتیب توزیع نیروی برشی و تغییر مکان جانبی سیستم ترکیبی قاب خمینی و مهاربندی را نشان می‌دهند.

از آنجا که استفاده از سیستم‌های ترکیبی تا ارتفاع محدودی به صرفه است، بدین منظور برای افزایش سختی سازه‌های بلندمرتبه، سیستم سازه‌ی لوله‌ی ابداع شده است. سیستم سازه‌ی لوله در لوله، یکی از انواع سیستم‌های لوله‌ی است که شامل یک قاب لوله‌ی بیرونی و یک هسته‌ی داخلی است. در سیستم مذکور، قسمتی از بار قائم نقلی توسط قاب‌های بیرونی و قسمتی توسط سازه‌ی داخلی که شامل هسته‌ی داخلی یا ستون‌های داخلی است، تحمل می‌شود. هسته‌ی داخلی در سازه‌ی فلزی، قاب مهاربندی و در سازه‌ی بتونی، دیوار برشی است.^[۱۱]

در سازه‌ها با هسته‌ی داخلی، اگر مود تغییر شکل خمینی دو سیستم داخلی و بیرونی مشابه باشند، برش ناشی از بارهای جانبی به نسبت سختی قاب بیرونی و هسته‌ی داخلی توزیع می‌شود. در غیر این صورت، توزیع برش در ارتفاع ساختمان به‌گونه‌ی اتفاق می‌افتد که دو سیستم باید به صورت سیستمی واحد عمل کنند.

۳. مدل سازی و آنالیز

در پژوهش حاضر، به منظور بررسی تأثیر تغییرات زاویه در اندرکنش بین دو سیستم سازه‌ی پیرامونی و داخلی، ۱۲ سازه‌ی ۳۶ طبقه‌ی فولادی با نسبت منظر ۳/۶ به ازاء ۳ زاویه‌ی اعضاء قطري ۱۹، ۳ و ۴ دارند، در نظر گرفته شده است. منظور از مدول شبکه‌ی قطري، تعداد طبقات است که توسط المان‌های مورب محصور شده‌اند. به‌دلیل دسترسی کافی به فضای باز بیرون در سازه‌های سیستم شبکه‌ی قطري،

شبکه‌ی قطري، مقاومت بیشتر و سختی کمتری نسبت به سازه‌ی لوله‌ی دارد. در سال ۲۰۱۱^[۷] نیز با درنظر گرفتن سازه‌های شبکه‌ی قطری با هسته‌ی داخلی دیوار برشی کوپله به اندرکنش سیستم سازه‌ی شبکه‌ی قطری همراه با هسته‌ی داخلی دیوار برشی بتی تحت اثر نیروی زلزله پرداخته شده است. در سال ۲۰۱۲^[۸] در بررسی سیستم سازه‌ی که متشکل از المان‌های شش ضلعی بوده است، نشان داده شده است که سیستم مذکور در مقایسه با سیستم شبکه‌ی قطری، سختی پیشتری دارد. همچنین در سال ۲۰۱۳^[۹] نشان داده شده است که سیستم‌های سازه‌ی با المان‌های مورب در پیرامون سازه، پاسخ مناسبی در برابر بارهای جانبی از خود نشان می‌دهند و جابه‌جایی جانبی، جابه‌جایی جانبی^۲ و نیروی بالارونده^۳ در سیستم سازه‌ی ذکر شده نسبت به سایر سیستم‌های سازه‌ی کمتر است. تاکنون بیشتر مطالعات و پژوهش‌ها در زمینه‌ی سیستم سازه‌ی شبکه‌ی قطری، به تعیین زاویه‌ی بهینه‌ی اعضاء مورب که به ازاء آن کمینه‌ی مصالح مصرفی و کمینه‌ی لنگری برش حاصل شود، پرداخته‌اند. در مطالعات پیشین، سیستم سازه‌ی شبکه‌ی قطری بدون هسته‌ی داخلی فرض شده است. از آنجا که مطالعات کمی بر روی سازه‌های با سیستم شبکه‌ی قطری همراه با هسته‌ی داخلی صورت گرفته است، در پژوهش حاضر با درنظر گرفتن دو سیستم سازه‌ی قطری پیرامونی و مهاربند هم‌گرا به بررسی رفتار اندرکنشی بین سیستم شبکه‌ی قطری پیرامونی و هسته‌ی داخلی، تحت نیروی زلزله پرداخته شده است. بر این اساس، مطالعاتی در مورد نحوه‌ی توزیع بار جانبی بین هسته‌ی داخلی و سیستم خارجی توسط پارامتر درصد جذب برش انجام شده است. همچنین تأثیر کاهش زاویه‌ی اعضاء قطری در افزایش صلابت برشی در سازه‌ها با نسبت منظر ۳/۶ بررسی شده است. انتظار می‌رود که در سازه‌های مدل شده با نسبت منظر پایین ۳/۶، به ازاء زاویه‌ی ۵۰/۱۹°، مقاومت برشی بیشتری حاصل شود. ارزیابی رفتار لرزه‌ی سازه‌ها با استفاده از آنالیز دینامیکی طیفی خطی صورت گرفته است. پارامترهای مورد بررسی در پژوهش حاضر، درصد جذب برش و تغییر مکان جانبی سازه‌ها هستند.

۲. روش پژوهش

سیستم قاب مهاربندی شده شبیه به یک تیر طره‌ی قائم عمل می‌کند و در مود خمینی تغییر شکل می‌دهد. شبی خم شدگی بیشتر در بالای ساختمان نشان می‌دهد که در ناحیه‌ی مذکور، قاب مهاربندی سهم کمی در سختی جانبی سازه دارد. علاوه بر این، قاب خمینی در مود برشی تغییر شکل می‌دهد. در سیستم قاب خمینی شبی خم شدگی در پایه‌ی ساختمان در جایی که برش بیشینه است، بیشتر می‌شود. هنگامی که دو سیستم قاب مهاربندی شده و قاب خمینی به وسیله‌ی دیافراگم‌های کف صلب به‌هم متصل می‌شوند، نیروی برشی غیریکنواختی بین دو سیستم به وجود می‌آید که اندرکنش آن‌ها منجر به ایجاد سیستم سازه‌ی به صرفه‌تری می‌شود. قاب خمینی در قسمت بالای ساختمان مانع از جابه‌جایی زیاد قاب مهاربندی می‌شود. علاوه بر این، در قسمت پایین ساختمان قاب مهاربندی با اعمال نیرو از جابه‌جایی زیاد قاب خمینی جلوگیری می‌کند. به‌طور کلی در طبقات بالا در جایی که برش نسبتاً کم است، قاب خمینی، قاب مهاربندی را تحمل می‌کند؛ در حالی که در طبقات پایین، قاب مهاربندی با تحمل درصد بالای از برش، قاب خمینی را نگه می‌دارد. تغییر شکل‌های خمینی متفاوت دو سیستم باعث می‌شود که قاب خمینی در طبقات بالا، تغییر شکل‌های خمینی قاب مهاربندی را کاهش دهد و در طبقات پایین، قاب مهاربندی سهم به سایری در تحمل برش ایفا می‌کند. شکل‌های ۱ و ۲،

شده است. طراحی سازه ها براساس مبحث دهم مقررات ملی ساختمان ایران،^[۱۴] و به صورت حدی صورت گرفته است. تحلیل و طراحی سازه های مدل نیز با نرم افزار SAP ۲۰۰۰-۷۱۴^[۱۵] انجام شده است. در جدول های ۱ الی ۳، مشخصات مصالح مصرفی در سازه های مدل شده ارائه شده است. از مقاطع لوله برای اعضاء قطري و مهاربندهای داخلی، مقاطع قوطی برای ستون ها و مقاطع W برای تیرها استفاده شده است.

از آنجاکه تحت بار جانبی قاب خمشی و قاب مهاربندی به ترتیب، رفتار برشی و خمشی دارند؛ لذا با دنظر گرفتن سیستم شبکه‌ی قطري به عنوان هسته‌ی بیرونی، قاب خمشی و قاب مهاربندی به عنوان هسته‌ی داخلی، رفتار ترکیبی و نحوه اندکش دو سیستم تحت بار جانبی مطالعه شده است. یکی ازویژگی های منحصر به فرد سیستم سازه‌ی شبکه‌ی قطري، حفظ پایداری بدون ستون های محیطی است؛ لذا سازه های با سیستم شبکه‌ی قطري بیرونی با ۴ ستون گوش و المان های شبکه‌ی قطري به صورت دو سر مفصل در نظر گرفته شده اند. در فاصله‌ی سیستم شبکه‌ی قطري بیرونی و هسته‌ی داخلی، ستون میانی وجود ندارد و دو سیستم توسط سقف صلب به هم متصل شده اند. سیستم سقف سازه، تیرچه بلوك فرض شده است. به منظور بررسی رفتار ترکیبی و نحوه اندکش دو سیستم بیرونی و داخلی از پارامترهای درصد جذب برش طبقات استفاده شده است. منظور از پارامتر درصد جذب برش، نسبت مقدار برش تحمل شده توسط هسته‌ی داخلی یا سیستم قطري بیرونی در هر طبقه به کل برش جذب شده در همان طبقه است.

آنالیز و طراحی سازه های مدل در ۴ مرحله صورت گرفته است: در مرحله‌ی اول، سازه ها با سیستم شبکه‌ی قطري بیرونی و هسته‌ی مهاربندی داخلی مدل شده اند. در این حالت، سطح مقطع تیر و ستون های داخلی و خارجی برای کلیه سازه ها یکسان در نظر گرفته شده است. به منظور بررسی تأثیر سطح مقطع المان های مهاربندی در نحوه توزیع نیروهای جانبی بین هسته‌ی داخلی و خارجی، سطح مقطع المان های قاب مهاربندی داخلی ۱ با بزرگتر از مقادیر طراحی شده و باز دیگر کوچکتر از آنها در نظر گرفته شده است. در مرحله‌ی دوم، با حذف مهاربندهای داخلی و جایگزینی هسته‌ی قاب خمشی، رفتار ترکیبی دو سیستم سازه‌ی مطالعه شده است. در این حالت نیز مشابه حالت قبل، سطح مقطع المان های تیر و ستون برای زاویه های مختلف شبکه‌ی قطري یکسان فرض شده است. در مرحله‌ی سوم، با حذف مهاربندی های طبقات آخر تغییرات توزیع برش در این طبقات مجدداً بررسی شده است. در کلیه سازه ها، سطح مقطع المان های شبکه‌ی قطري به ازاء زوایای مختلف طراحی شده است. سطح مقطع المان های مورب سیستم شبکه‌ی قطري به ازاء زاویه ثابت المان های سیستم شبکه‌ی قطري برای سازه ها با دو هسته‌ی متفاوت، یکسان فرض شده است. در مرحله‌ی چهارم، جابه جایی جانبی سازه ها نیز بررسی شده است.

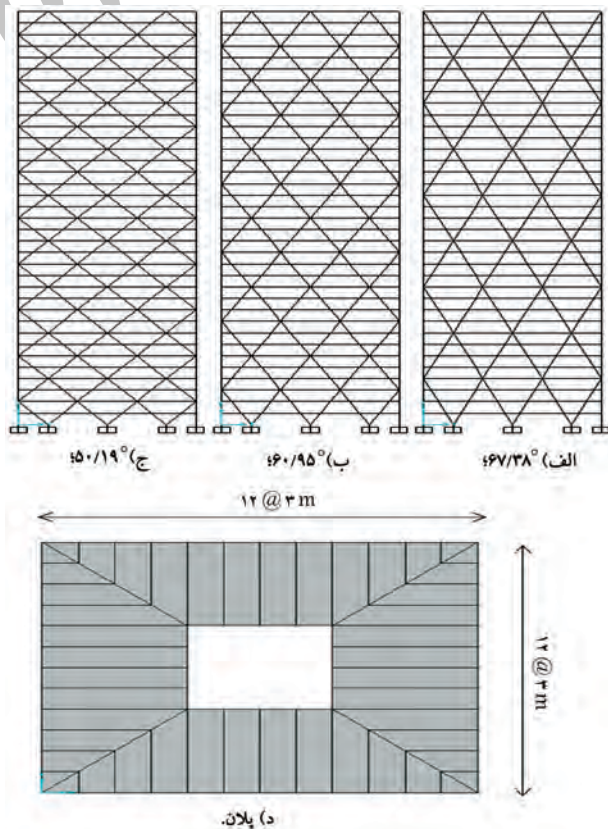
۴. تجزیه و تحلیل نتایج

۱.۴. تأثیر سطح مقطع هسته‌ی مهاربندی داخلی در رفتار ترکیبی سازه‌ی شبکه‌ی قطري با هسته‌ی مهاربندی داخلی

به منظور بررسی رفتار ترکیبی سازه‌ی پیرامونی و هسته‌ی داخلی به ازاء سطح مقطع های متفاوت مهاربندهای هسته‌ی داخلی هر کدام از سازه ها با زاویه های ۶۰/۹۵، ۵۰/۱۹ و ۶۷/۳۸ درجه به ازاء ۳ سطح مقطع متفاوت آنالیز و طراحی

سیستم سازه‌ی شبکه‌ی قطري مورد توجه بسیار معماران قرار گرفته است؛ لذا در مطالعه‌ی حاضر، کمینه‌ی مدل شبکه‌ی قطري، عدد ۲ فرض شده است، که به ازاء آن زاویه‌ی $50/19^\circ$ به دست آمده است. از آنجاکه زاویه‌ی اعضاء شبکه‌ی قطري، نقش کلیدی در سازه های شبکه‌ی قطري ایفا می‌کنند، ارتفاع سازه ها یکسان فرض شده و به تغییرات زاویه‌ی پرداخته شده است. سازه های مدل با پلان مربع به ابعاد 36×36 متر، هسته‌ی داخلی توخالی 12×12 متر، ارتفاع طبقات $3,6$ متر و فاصله‌ی هر جفت اعضاء قطري در پیرامون سازه، 12 متر در نظر گرفته شده اند. در شکل ۳، پلان دو بعدی و نمای سازه های مدل نشان داده شده است.

بار مرده و زنده‌ی وارد بر طبقات، مطابق با مبحث ششم مقررات ملی ساختمان ایران،^[۱۶] به ترتیب $(kN/m)^3$ و $5,88(kN/m)^2$ فرض شده است. بارگذاری لرزه‌ی مطابق با استاندارد 280° ایران،^[۱۷] صورت گرفته و با فرض قارگیری سازه ها در منطقه با خطر نسبی خیلی زیاد، شتاب مبنای طرح 35° انتخاب شده است. همچنین سازه ها بر روی خاک نوع II در نظر گرفته شده اند. از آنجاکه برای سازه ها با این نوع سیستم سازه های ضربی رفتار مشخصی در آین نامه تعیین نشده است، با فرض شکل پذیری متوسط، ضربی رفتار ۷ برای سازه ها در نظر گرفته شده است. مطابق ضوابط استاندارد 280° ایران، در ساختمان های منظم با ارتفاع بیش از 55 متر، تحلیل سازه ها با استفاده از آنالیز دینامیکی طیفی خطی انجام و طیف طرح استاندارد آین نامه ای ایران جهت بارگذاری لرزه‌ی استفاده شده است. فولاد مصرفی مقاطع از نوع ST 37 با $F_u = 225359/62(kN/m^2)$ و $F_y = 262846/05(kN/m^2)$ فرض



شکل ۳. نما و پلان سازه ها با سیستم شبکه‌ی قطري.

جدول ۱. مقاطع قوطی شکل ((m), t(m), b(m)).

ستون های داخلی در سازه های شبکه ای قطری همراه با هسته های مهاربندی	ستون های گوشه		
	۶۷/۳۸°	۶۰/۹۵°	۵۰/۱۹°
۰,۸,۰,۰۸	۱,۰,۱	۱/۱,۰,۱۱	۱/۳,۰,۱۳
۰,۶,۰,۰۶	۰,۸,۰,۰۸	۱,۰,۱	۱,۰,۱
۰,۴,۰,۰۴	۰,۶,۰,۰۶	۰,۸,۰,۰۸	۰,۸,۰,۰۸
	۰,۶,۰,۰۶	۰,۶,۰,۰۶	۰,۶,۰,۰۶

جدول ۲. مقاطع قوطی شکل ((m), t(m), b(m)).

ستون های داخلی در سازه های شبکه ای قطری همراه با هسته های قاب خمی	ستون های گوشه		
	۶۷/۳۸°	۶۰/۹۵°	۵۰/۱۹°
۱/۳,۰,۱۳	۱,۰,۱	۱/۱,۰,۱۱	۱/۳,۰,۱۳
۱,۰,۱	۰,۸,۰,۰۸	۱,۰,۱	۱,۰,۱
۰,۸,۰,۰۸	۰,۶,۰,۰۶	۰,۸,۰,۰۸	۰,۸,۰,۰۸
	۰,۶,۰,۰۶	۰,۶,۰,۰۶	۰,۶,۰,۰۶

جدول ۴. مشخصات سازه های مدل شده.

زاویه های المان های مهاربندی داخلی (درجه)	نام سازه قطعی پیرامونی (cm ²)	سطح مقطع نام سازه	نام سازه Mehārbendī Dāxli (cm ²)
۵۰,۱۹	SD1	۶۵۱۴۴,۰۴	SB1
۶۰,۹۵	SD2	۱۴۶۵۷۴,۱۴	SB2
۶۷,۳۸	SD3	۲۶۰۵۷۶,۲۴	SB3

جدول ۳. مقاطع لوله بی شکل ((m), t(m), b(m)).

زاویه های اعضاء قطری
۶۷/۳۸°
۶۰/۹۵°
۵۰/۱۹°

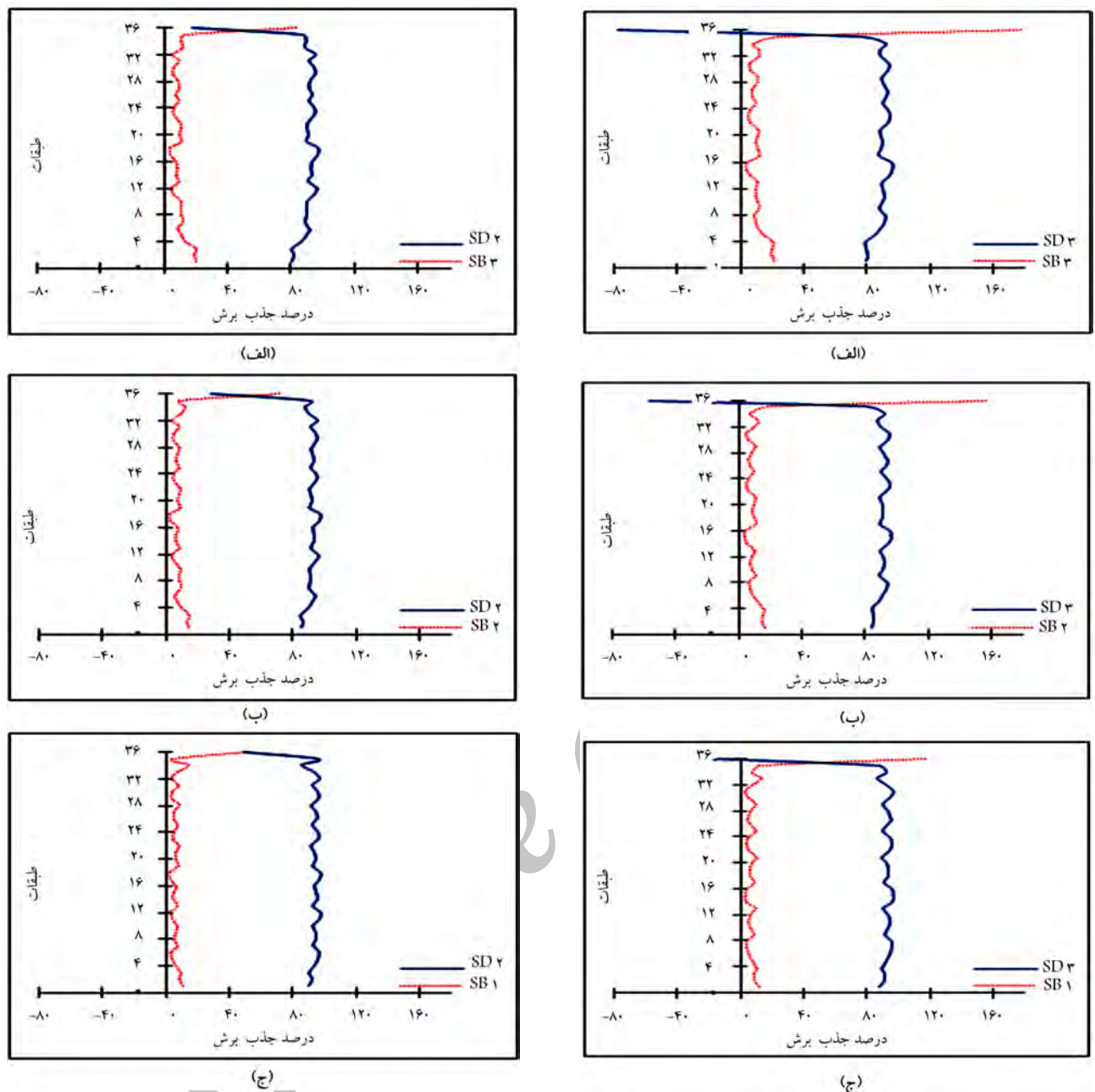
بیشینه هی مقاومت جانبی را نسبت به سازه های شبکه ای قطری با زاویه هی $67/38^\circ$ و $60,95^\circ$ دارد. علاوه بر این، در شکل های (۱۴الف)، (۱۴ب) و (۱۴ج) برش جذب شده در طبقه ای $36/۳۶$ متفاوت است. در این صورت نه فقط سیستم شبکه ای قطری نیروی جانبی لرزه بی را جذب نمی کند، بلکه نیروی اضافی در جهت نیروی زلزله به سازه اعمال می کند. در سازه های سیستم شبکه ای قطری با هسته های مهاربندی داخلی، هسته های داخلی و سیستم پیرامونی به تهایی رفتاری شبیه به تیر طره دارند و در مود خمی تغییر شکل می دهند. لذا در سازه های ترکیبی مذکور، نیروی جانبی به نسبت سختی هسته های داخلی و هسته های پیرامونی توزیع می شود.

۲.۴ اندرکشن سیستم شبکه ای قطری پیرامونی و هسته های قاب خمی داخلی

به منظور بررسی اندرکشن سیستم شبکه ای قطری پیرامونی و هسته های قاب خمی داخلی، سازه های با سیستم شبکه ای قطری با زاویه های $50,19^\circ$ ، $55,0^\circ$ ، $60,95^\circ$ و $67,38^\circ$ درجه همراه با هسته های قاب خمی داخلی مدل شده اند. منظور از BF، هسته های قاب خمی داخلی است. شکل ۷، نتایج حاصل از نحوه توزیع نیروی جانبی بین هسته های داخلی و خارجی را نشان می دهد.

مقادیر درصد جذب برش طبقه ای آخر برای هسته های پیرامونی و داخلی به ترتیب 16% و 84% ، 81% و 39% است که با افزایش زاویه از میران برش جذب شده توسط شبکه ای قطری پیرامونی در طبقه ای آخر از 81% به 16% کاهش یافته است (شکل های ۷الف، ب و ج). علاوه بر این، همان طور که در شکل های ذکر شده مشاهده می شود، کمینه هی سیستم شبکه ای قطری در طبقه ای $36/۳۶$ کاهش می یابد. لذا سازه های سیستم شبکه ای قطری با زاویه هی $50,19^\circ$ ،

شده اند (شکل های ۴ الی ۶). در جدول ۴، مشخصات سازه های مدل شده ارائه شده است. SD و SB به ترتیب معرف سازه با سیستم شبکه ای قطری و هسته های مهاربندی شده داخلی هستند. همان طور که در شکل (۱۴الف) ملاحظه می شود، درصد جذب شده در طبقه ای آخر با هسته های پیرامونی و هسته های داخلی به ترتیب 77% و 177% در شکل (۱۴ب) -56% و 156% و در شکل (۱۴ج) -16% و 116% است. در شکل (۱۶الف)، درصد برش تحمل شده در طبقه ای آخر توسط هسته های پیرامونی و هسته های داخلی به ترتیب 54% و 46% در شکل (۱۶ب) 65% و 35% و در شکل (۱۶ج) 79% و 21% است. از نتایج بدست آمده مشاهده می شود که در هر گروه از سازه ها به ازاء زاویه های ثابت المان های شبکه ای قطری با کاهش سطح مقطع مهاربنده های هسته های داخلی، میران برش جذب شده توسط سیستم شبکه ای قطری مهاربنده های هسته های داخلی، میران برش جذب شده توسط سیستم شبکه ای قطری کاسته می شود. علاوه بر این، همان طور که در شکل های مذکور مشاهده می شود، کمینه هی برش تحمل شده در طبقات پایین مدل های SD3، SD2، SD1 و SD1 به ازاء ۳ سطح مقطع متفاوت برای مهاربنده های قاب داخلی به ترتیب 78% و 80% و 85% است. با توجه به شکل های ۴ الی ۶، سهم قابل ملاحظه بی از نیروی جانبی در همه طبقات به غیر از طبقه ای $36/۳۶$ آم، توسط سیستم شبکه ای قطری پیرامونی تحمل می شود و برش جذب شده توسط هسته های مهاربندی داخلی در طبقه ای $36/۳۶$ به طور ناگهانی افزایش می یابد. براساس این نتایج، با کاهش زاویه های مورب سیستم شبکه ای قطری، بیشینه هی برش تحمل شده توسط سیستم شبکه ای قطری در طبقه ای $36/۳۶$ کاهش می یابد. لذا سازه های سیستم شبکه ای قطری با زاویه هی $50,19^\circ$ ،

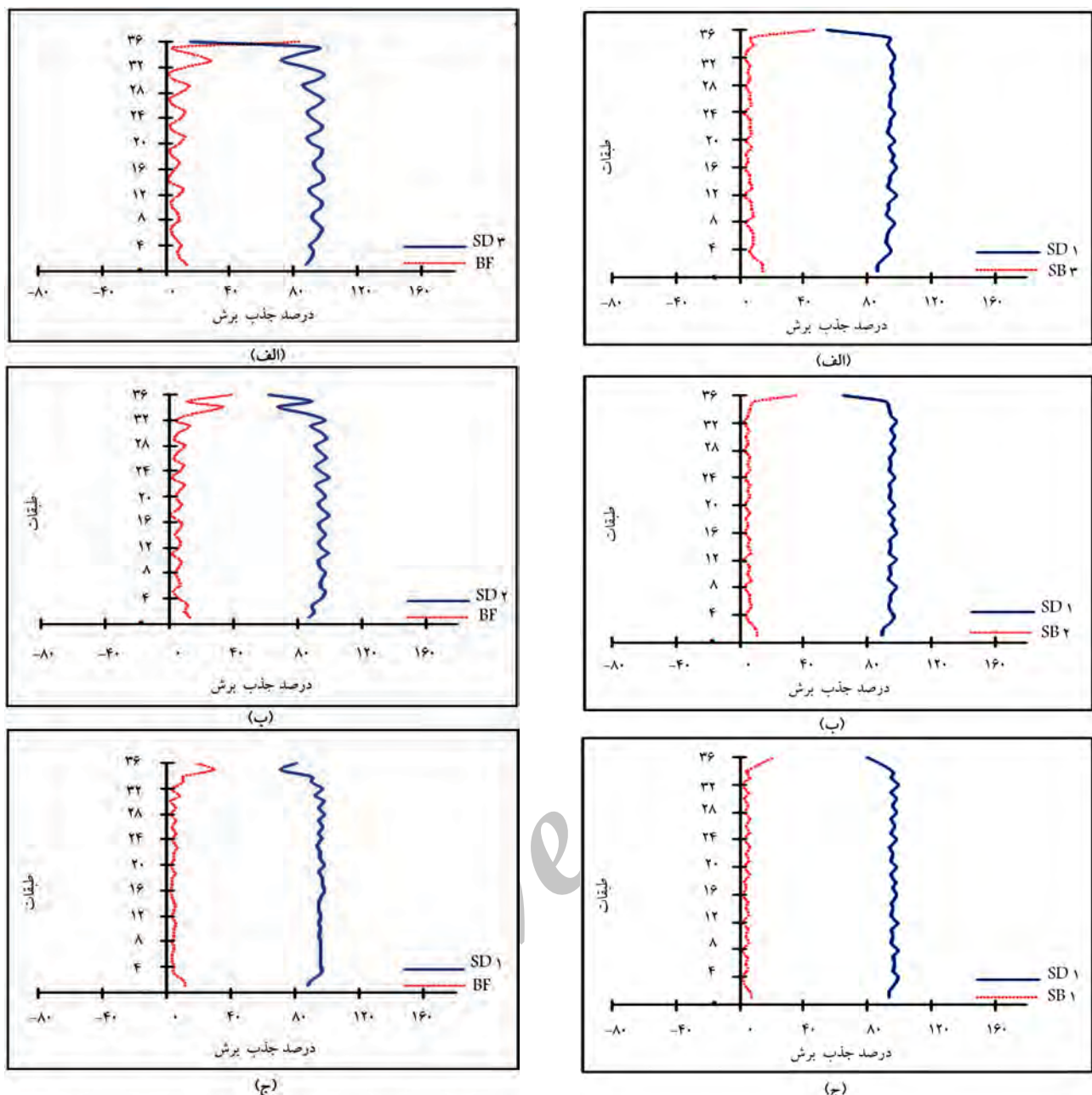


شکل ۵. درصد جذب برش سازه‌ی $60/95^{\circ}$ با هسته‌ی مهاربندی.

شکل ۴. درصد جذب برش سازه‌ی $67/38^{\circ}$ با هسته‌ی مهاربندی.

و اعضاء قطري، به ازاء زاويه‌ی 35° بدست آمده است.^[۲] در قاب‌های مهاربندی، بيشينه‌ی صليبيت خمشي توسيع زاويه‌ی 90° ستون‌ها و بيشينه‌ی صليبيت برشی توسيع زاويه‌ی 35° اعضاء مهاربندی تأمین می‌شود. با افزایش نسبت منظر یا به عبارتی لاغرتر شدن سازه، مود خمشی بر آن حاکم می‌شود؛ لذا در سازه‌های شبکه‌ی قطري با افزایش نسبت منظر، بيشينه‌ی صليبيت خمشي به ازاء زاويه‌های بزرگ‌تر حاصل می‌شود. در مقابل در سازه‌ها با نسبت منظر کم، سازه در مود برشی تعیير شکل می‌دهد و مطابق مطالعات انجام شده مشخص شده است که بيشينه‌ی صليبيت برشی در سازه‌های قاب مهاربندی شده به ازاء زاويه‌ی 35° حاصل می‌شود. در نتيجه، در سازه‌ی شبکه‌ی قطري با كاهش زاويه، بيشينه‌ی صليبيت برشی حاصل می‌شود. همان‌طور که در شکل ۸ مشاهده می‌شود، بيشينه‌ی مقاومت برشی برای

پيرامونی در مدل‌های SD1، SD2 و SD3 با هسته‌ی قاب خمشي داخلی به ترتيب 85% ، 88% و 85% است. در سازه‌ی سيسitem شبکه‌ی قطري با هسته‌ی قاب خمشي داخلی، هسته‌ی داخلی در طبقات بالاي سازه که ميزان برش نسبتاً کم است، مشاركت می‌کند و هسته‌ی شبکه‌ی قطري پيرامونی، درصد قابل ملاحظه‌ي از برش را تحمل می‌کند. طبق نتائج تحليل‌ها، در سازه‌های سيسitem شبکه‌ی قطري با هسته‌ی داخلی، اثر مودهای بالاي منجر به كاهش سختي برشی سيسitem شبکه‌ی قطري در طبقه‌ی آخر می‌شود. قابل ذكر است که نتائج ارائه شده برای سازه‌ها با نسبت منظر (نسبت ارتفاع به عرض $3/6$) است و برای سازه‌ها با نسبت منظر و پلان متفاوت، نياز به مطالعات بيشتری دارد. بيشينه‌ی صليبيت برشی در قاب‌های مهاربندی متداول متشكّل از ستون‌های قائم



شکل ۷. درصد جذب برش سازه‌ی شبکه‌ی قطري با هسته‌ی قاب خمشي داخلی.

آخر، مقدار برش جذب شده توسط هسته‌ی پيراموني کاهش می‌يابد. بدین منظور در سازه‌ها با زاويه‌ی مختلف، مهاربندهای داخلی طبقه‌ی ۳۶ می‌باشد. در نهايّت مشاهده شده است که در سازه‌های شبکه‌ی قطري با حذف مهاربندهای طبقه‌ی ۳۶، برش جذب شده‌ی هسته‌ی پيراموني در طبقه‌ی آخر نقربياً به يسي از ۸۰٪ رسيده است. نتایج حاصل در شکل ۹، برای سازه‌های با زاويه‌های مختلف برای هسته‌ی مهاربندی با سطح مقطع ثابت نشان داده است.

۴.۴. جابه‌جايی جانبی

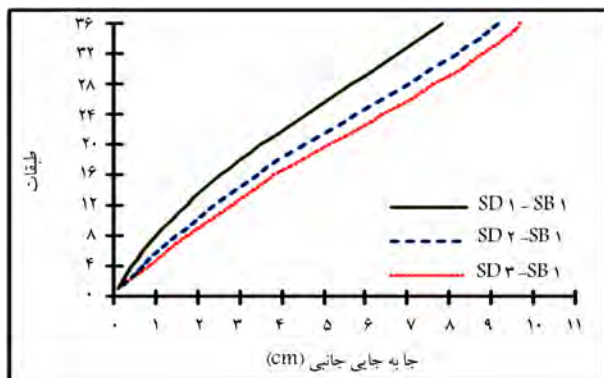
تعديّر زاويه‌ی اعضاء شبکه‌ی قطري، نقش کليدي در سازه‌های با سيسنتم شبکه‌ی قطري دارد. جابه‌جايی جانبی جانبي مدل با زاويه‌ی مختلف به ازاء سطح مقطع

شکل ۶. درصد جذب برش سازه‌ی ۵۰/۱۹ با هسته‌ی مهاربندی.

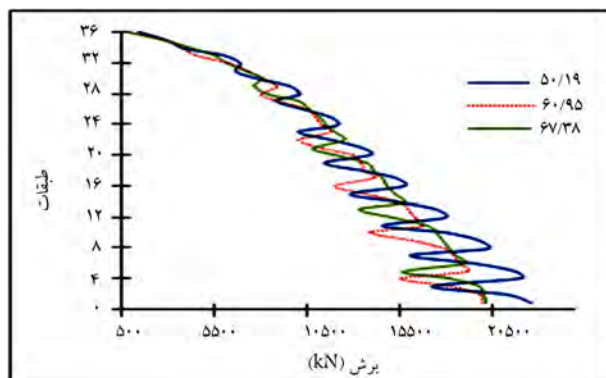
زاویه‌ی ۱۹° به دست آمده است. در شکل ۸، نقاطی که پرش در آن‌ها اتفاق رفته است، محل تلاقی رؤوس المان‌های شبکه‌ی قطري هستند.

۴.۳. تأثير حذف مهاربندهای داخلی طبقه‌ی آخر در توزيع نيروى جانبى

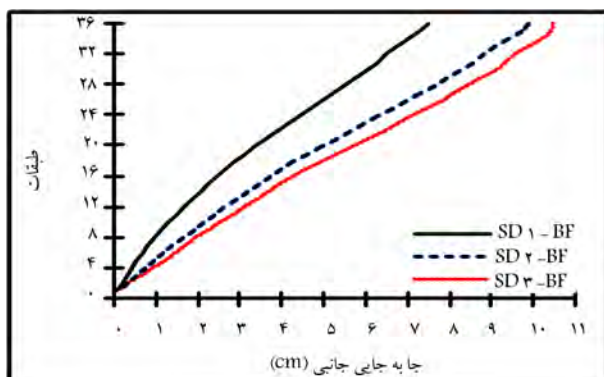
در سازه‌های با سيسنتم لوله در لوله، درصد بالائي از بار جانبی توسط قاب بیرونی و قسمتی از بار مقلعی توسط سيسنتم لوله‌ی بیرونی و قسمتی ازان توسط قاب داخلی تحمل می‌شود. سيسنتم شبکه‌ی قطري، ظرفيت بالائي در تحمل برش طبقات دارد. برش در سازه با سيسنتم شبکه‌ی قطري توسط عملکرد محوري المان‌های مورب تحمل می‌شود. مشاهده شده است که در سازه با سيسنتم شبکه‌ی قطري در طبقه‌ی



شکل ۱۰. جابه‌جایی جانبی سازه شبکه‌ی قطربی با هسته‌ی مهاربندی.



شکل ۸. برش سازه‌ی شبکه‌ی قطری با هسته‌ی قاب خمشی داخلی.



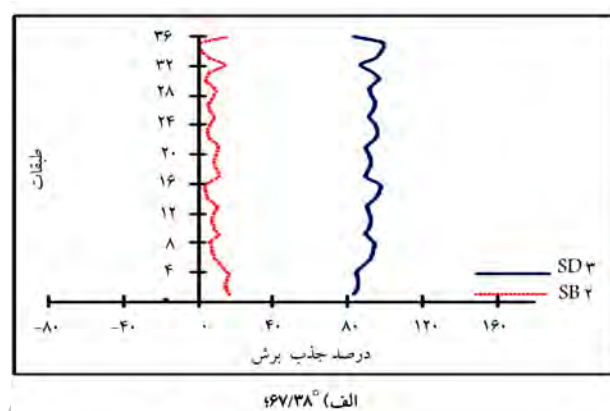
شکل ۱۱. جابه‌جایی جانبی سازه‌ی شبکه‌ی قطری با هسته‌ی قاب خمشی.

ثابت هسته‌ی مهاربندی داخلی در شکل ۱۰ نشان داده شده است. بیشینه‌ی اختلاف تغیر مکان سازه‌های SD 1-SB 1 و SD 2-SB 1 در تراز بام ۷٪ است، در حالی که این مقدار برای دو سازه‌ی SD 1-SB 1 و SD 3-SB 1 در حدود ۳۵٪ است. در شکل ۱۱، جابه‌جایی جانبی سازه‌ها با سیستم شبکه‌ی قطری پیرامونی و هسته‌ی قاب خمشی داخلی نشان داده شده است. مشابه حالت قبل، بیشینه‌ی اختلاف تغیر مکان سازه‌های SD 1-BF و SD 2-BF در تراز بام ۲۲٪ است ولی این مقدار برای دو سازه‌ی SD 1-BF و SD 3-BF در حدود ۴۰٪ است. بر طبق نتایج حاصل در شکل‌های ۱۰ و ۱۱، کاهش زاویه‌ی اعضاء شبکه‌ی قطری از $67/38^{\circ}$ به 19° و $1/19^{\circ}$ باعث افزایش سختی و صلیبیت جانبی سازه و یا به عبارتی کاهش جابه‌جایی جانبی سازه شده است.

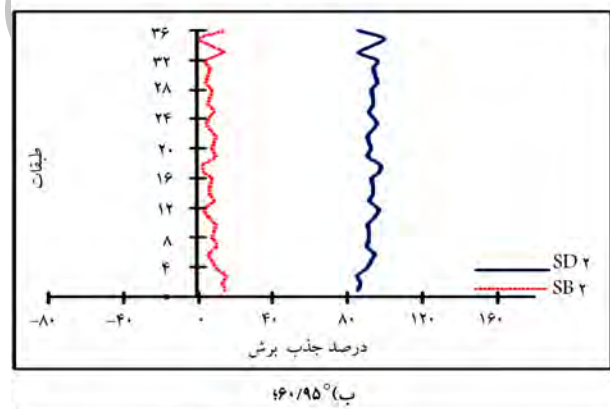
تغییر مکان جانبی طبقی آخر نسبت به ارتفاع کل سازه، به ازاء زاویه‌های ۱۹، ۵۰، ۶۷/۳۸ و ۶۰/۹۵ درجه در سازه‌های سیستم شبکه‌ی قطری همراه با قاب خمشی به ترتیب 0.57% ، 0.76% و 0.8% بوده است. لذا، سازه با نسبت منظر (نسبت ارتفاع به عرض سازه) $3/6$ و زاویه‌ی 19° ، تغییر مکان جانبی کمتر و سختی بیشتر نسبت به دو سازه با زاویه‌های $60/95$ و $67/38$ درجه دارد.

۵. نتیجه‌گیری

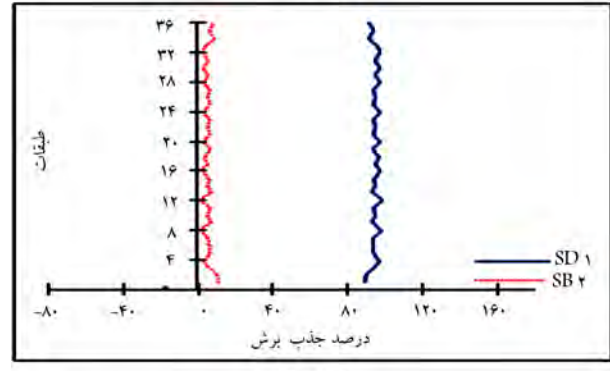
هدف از مطالعه‌ی حاضر، بررسی اندرکنش سیستم شبکه‌ی قطری به عنوان هسته‌ی بیرونی به همراه یک هسته‌ی داخلی تحت بار ارزه‌بی بوده است. بهمنظور ارزیابی رفتار ترکیبی سازه‌ها تحت بار ارزه‌بی از آنالیز دینامیکی طیفی خطی استفاده شده



الف)



ب)



ج)

شکل ۹. درصد جذب برش سازه‌ی لوله در لوله با زاویه‌های مختلف اعضاء قطری به ازاء مهاربند داخلی با سطح مقطع ثابت.

داخلی در طبقه‌ی آخر، برش جذب شده‌ی هسته‌ی پیRAMONI در طبقه‌ی ۳۶ آم به بیش از ۸۰٪ رسیده است. در نتیجه، هسته‌ی داخلی نقش مؤثری در باربری ثقلی و شبکه‌ی قطری در باربری جانبی از خود نشان داده است.

تقدیر و تشکر

همکاری ارزشمند جناب آقای دکتر پیمان همامی، عضو هیئت علمی گروه مهندسی عمران دانشگاه خوارزمی در انجام پژوهش حاضر، شایسته‌ی تقدیر و تشکر است.

است. نتایج به دست آمده از عملکرد ترکیبی سیستم شبکه‌ی قطری همراه با هسته‌ی داخلی با عملکرد ترکیبی سیستم دوگانه‌ی قاب خمشی و قاب مهاربندی مقایسه شده است.

بر طبق نتایج آنالیز، در سیستم ترکیبی شبکه‌ی قطری همراه با هسته‌ی قاب خمشی و قاب مهاربندی در طبقات آخر، هسته‌ی داخلی به جای سیستم شبکه‌ی قطری بار جانبی را تحمل می‌کند. از آنجاکه سازه‌ی سیستم شبکه‌ی قطری صلیبت بشی بالایی به دلیل عملکرد محوری المان‌های قطری دارد، در سازه‌های شبکه‌ی قطری با زاویه‌ی ۱۹°، ۵۰°، ۶۰°، ۹۵° و ۶۷/۳۸° با حذف مهاربندهای هسته‌ی

پانوشت‌ها

1. diagrid system
2. drift
3. uplift

منابع (References)

1. Leonard, J. "Investigation of shear lag effect in high-rise buildings with diagrid system", MSc Thesis, Massachusetts: Massachusetts Institute of Technology (2007).
2. Moon, K.S., Connor, J.J. and Fernandez, J.E. "Diagrid structural systems for tall buildings: Characteristics and methodology for preliminary design", *The Structural Design of Tall and Special Buildings*, **16**(2), pp. 205-230 (2007).
3. Kim, J. and Lee, Y. "Seismic performance evaluation of diagrid systems Buildings", *The Structural Design of Tall and Special buildings*, **21**(10), pp. 736-749 (2010).
4. Moon, K.S. "Sustainable structural engineering strategies for tall buildings", *The Structural Design of Tall and Special Buildings*, **17**(5), pp. 895-914 (2008).
5. Zhang, C., Zhao, F. and Liu, Y. "Diagrid tube structures composed of straight diagonals with gradually varying angles", *The Structural Design of Tall and Special Buildings*, **21**(4), pp. 283-295 (2012).
6. Kim, J., Park, J., Shin, S. and Min, K. "Seismic performance of tubular structures with buckling restrained braces", *The Structural Design of Tall and Special Buildings*, **18**(4), pp. 351-370 (2009).
7. Teng, J., Guo, W., Rong, B. and Li, Z. "Seismic performance research of High-rise diagrid Tube-core tube structures", *Advanced Materials Research*, **163-167**, pp. 2005-2012 (2011).
8. Mashhadiali, N. and Kheyroddin, A. "Proposing the hexagrid system as a new structural system for tall buildings", *The Structural Design of Tall and Special Buildings*, **22**(17), pp. 1310-1329 (2012).
9. Hemmati, A. and Kheyroddin, A. "Behavior of large-scale bracing system in tall buildings subjected to earthquake loads", *Journal of Civil Engineering and Management*, **19**(2), pp. 206-216 (2011).
10. Kheyroddin, A. and Aramesh, S., *Lateral Resisting Systems in Tall Buildings*, Semnan university (2012).
11. Stafford Smith, B. and Coull, A., *Tall Building Structures: Analysis and Design*, New York, John Wiley & Sons, 537 p. (1991).
12. INBC (Iranian National Building Code)., "Design Loads for Buildings", Part 6, INBC (National Building Regulations Office), Tehran, Iran (2010).
13. BHRC., *Iranian Code of Practice for Seismic Resistant Design of Buildings*, Standard No. 2800-05, 3rd. ed., Tehran, Building and Housing Research Center (2005).
14. INBC (Iranian National Building Code)., *Design and Construction of Steel Buildings*, Part 10, INBC (National Building Regulations Office), Tehran, Iran, (2013).
15. SAP2000., *Structural Analysis Program*, Computers and Structures: Berkeley, CA (2009).